

اثر فشار سیال بر جابه‌جایی خط جوش و توزیع ضخامت در فرآیند کشش عمیق هیدرومکانیکی لوح‌های ترکیبی*

عماد رحیمی^(۱) حسن مسلمی نائینی^(۲) حامد دیلمی عضدی^(۳) سیامک مزدک^(۴) محمد مهدی کساپی^(۵)

چکیده استفاده از لوح‌های ترکیبی در تولید، مزایای فراوانی را از قبیل کاهش وزن و هزینه‌ی تولید محصولات در پی دارد. اما به کارگیری این لوح‌ها در صنعت، نیازمند استفاده از روش‌هایی برای چیره شدن بر مشکل کاهش شکل پایه‌ی این لوح‌ها نسبت به مواد پایه‌ی آن هاست. یکی از این روش‌ها به کارگیری فشار سیال در شکل دهنی ورقی است. در این تحقیق، فرآیند کشش عمیق هیدرومکانیکی لوح‌های ترکیبی به وسیله‌ی روش اجزای محدود و صحت‌سنجی تجربی St12 با نسبت‌های ضخامت متفاوت بررسی شده است. نتایج عددی به دست آمده با نتایج تجربی، مطابقت نسبتاً خوبی دارند. این نتایج نشان می‌دهد که یک مقدار بهینه برای فشار نهایی سیال برای دست‌یابی به کمترین بیشینه‌ی نازک شدگی وجود دارد. هم‌چنین مشاهده می‌شود که با استفاده از فشار سیال در این فرآیند، امکان دست‌یابی به نسبت‌های کشش بالاتر و هم‌چنین امکان کاهش جابه‌جایی خط جوش نسبت به فرآیند کشش عمیق متداول وجود دارد.

واژه‌های کلیدی لوح ترکیبی (TWB)، کشش عمیق هیدرومکانیکی، فشار سیال، جابه‌جایی خط جوش، توزیع ضخامت

Effect of Fluid Pressure on Weld-Line Movement and Thickness Distribution in Hydro-Mechanical Deep Drawing of Tailor-Welded Blanks (TWBs)

E. Rahimi H. Moslemi Naeini H. Deylami Azodi S. Mazdak M.M. Kasaei

Abstract Use of Tailor-Welded Blanks (TWBs) in production has significant advantages such as weight and cost reduction. However, their application requires processes that increase their poor formability in comparison to base materials. One of these procedures is the use of fluid pressure in sheet metal forming. In this paper hydro-mechanical deep drawing process of tailor-welded low carbon steel (St12) blanks with different thicknesses is studied using FEM and verified experimentally, and effect of fluid pressure on weld-line movement and thickness distribution is investigated. Results of FEM are in good agreement with experiments. Results show that there is an optimum value of final pressure in which the least maximum thinning occurs. Furthermore, using fluid pressure we can obtain higher drawing ratios and also reduce the weld-line movement compared to conventional deep drawing.

Key Words Tailor-Welded Blank (TWB), Hydro-Mechanical Deep Drawing, Fluid Pressure, Weld-Line Movement, Thickness Distribution

* نسخه‌ی نخست مقاله در تاریخ ۹۰/۶/۲۰، نسخه پذیرش آن در تاریخ ۹۰/۹/۲۰ و نسخه آماده چاپ آن در تاریخ ۹۰/۱۱/۷ به دفتر نشریه رسیده است.

(۱) کارشناس ارشد، گروه ساخت و تولید، بخش مهندسی مکانیک، دانشکده‌ی فنی و مهندسی، دانشگاه تربیت مدرس

(۲) نویسنده‌ی مسؤول: استاد، گروه ساخت و تولید، بخش مهندسی مکانیک، دانشکده‌ی فنی و مهندسی، دانشگاه تربیت مدرس

(۳) استادیار، گروه مهندسی مکانیک، ساخت و تولید، دانشکده‌ی فنی و مهندسی ارک، دانشگاه علم و صنعت ایران

(۴) استادیار، دانشکده‌ی مهندسی مکانیک، دانشگاه تفرش

(۵) دانشجوی دکتری، گروه ساخت و تولید، بخش مهندسی مکانیک، دانشکده‌ی فنی و مهندسی، دانشگاه تربیت مدرس

مقدمه

پیشنهاد کردند. در نتایج این تحقیق که بر روی یک قطعه‌ی صنعتی انجام شده است، مشاهده می‌شود که در این فرآیند، تغییر مسیر کرنش برای کاهش پیک‌های کرنش مفید خواهد بود. در تحقیقی که توسط چنا و همکاران [5] انجام شده، تأثیر استفاده از ورق‌گیر پله‌دار و پین‌های نگهدارنده‌ی خط جوش بر شکل‌پذیری لوح‌های ترکیبی با استفاده از شبیه‌سازی و آزمایش‌های تجربی کشش یک جعبه موردن بررسی قرار گرفته است. در این تحقیق گزارش می‌شود که استفاده از ورق‌گیر پله‌دار به کاهش پدیده‌ی چین‌خوردگی کمک کرده است. هم‌چنین استفاده‌ی همزمان از ورق‌گیر پله‌دار و پین‌های نگهدارنده بهترین اثر را در بهبود شکل‌پذیری محصول داشته است. پادمانابهان و همکاران [6] با استفاده از شبیه‌سازی‌های المان محدود، اثر استفاده از ورق‌گیر چندتکه را در شکل‌دهی لوح‌های ترکیبی آلومینیوم-فولاد، مورد بررسی قرار دادند. نتایج نشان می‌دهند که ورق‌گیر چندتکه امکان اعمال مناسب نیروهای ورق‌گیری مختلف را بر دو بخش لوح‌ها فراهم کرده است؛ که به افزایش قابلیت شکل‌پذیری این لوح‌های ترکیبی می‌انجامد.

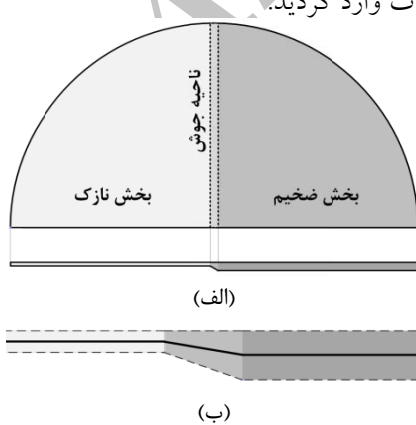
از آن‌جایی که فرآیند شکل‌دهی هیدرومکانیکی به عنوان یک فرآیند تولیدی با کاربرد روزافزون برای دستیابی به نسبت‌های کشش بالاتر، امکان تولید قطعات پیچیده‌تر و هم‌چنین توزیع یکنواخت‌تر ضخامت نسبت به فرآیند کشش عمیق متداول مطرح است، استفاده از این فرآیند به منظور افزایش شکل‌پذیری لوح‌های ترکیبی مورد توجه قرار می‌گیرد. تحقیقات اندکی در زمینه‌ی استفاده از روش‌های هیدروفرمینگ در شکل‌دهی ورق‌های ترکیبی گزارش شده است. مثال‌هایی از این تحقیقات شامل تحقیق س. کومار پاندا و د. راوی کومار [1] می‌باشد که به بررسی اثر فشار سیال بر شکل‌پذیری ورق‌های ترکیبی با استفاده از شبیه‌سازی و آزمایش پرداخته‌اند و افزایش شکل‌پذیری را با استفاده از فشار محیطی سیال نسبت

استفاده از لوح‌های ترکیبی (TWB) در تولید به منظور کاهش وزن محصول، کاهش دورریز و هزینه‌های مواد، افزایش انعطاف‌پذیری در طراحی و هم‌چنین فراهم شدن امکان استفاده از مزایای فرآیندهای جوشکاری پیوسته، کاربرد روزافزونی یافته است. مسئله‌ی مهم در شکل‌دهی این لوح‌ها، کاهش شکل‌پذیری لوح‌های ترکیبی نسبت به ورق‌های پایه است. کاهش شکل‌پذیری لوح‌های ترکیبی نسبت به لوح‌های پایه‌ی آن‌ها، به خواص ناحیه‌ی جوش و ناحیه‌ی متاثر از حرارت و تغییر شکل ناهمگون بخش‌های مختلف لوح مربوط می‌شود [1]. شکل‌دهی لوح‌های ترکیبی به علت شکل‌پذیری کم این لوح‌ها، دشوار است.

تحقیقات متعددی در زمینه‌ی به کارگیری روش‌هایی به منظور افزایش شکل‌پذیری لوح‌های ترکیبی انجام شده است. در تحقیق احمداقلو و همکاران [2] برای افزایش شکل‌پذیری لوح‌های ترکیبی و با هدف اعمال فشار متفاوت بر دو نیمه‌ی لوح، یک روش کترل فشار برای ورق‌گیر پیشنهاد شده است. در این روش از یک سیستم سیلندر نیتروژنی که شامل ۶ سیلندر نیتروژن و دو تانک می‌باشد، استفاده شده است. نتایج این مطالعه نشان می‌دهد که چرخش خط جوش در حین شکل‌دهی با استفاده از نیروی ورق‌گیر متفاوت، قابل کترل است. با کترل موقعیت خط جوش، امکان کاهش سطح کرنش روی نیمه‌ی لوح که دارای ضخامت یا استحکام کمتر می‌باشد، وجود دارد. در تحقیقی که توسط کینسی و همکاران [3] انجام شد، از یک سیستم مهارکننده‌ی هیدرولیکی برای کترول حرکت خط جوش لوح‌های ترکیبی استفاده شده است. نتایج شبیه‌سازی‌های این تحقیق، کاهش بیشینه‌ی کرنش‌ها در راستای خط جوش تا یک- پنج را گزارش می‌کند. جیانگ و همکاران [4] در تحقیقی روش شکل‌دهی چند مرحله‌ای را به عنوان یک راهکار برای افزایش خاصیت شکل‌پذیری لوح‌های ترکیبی

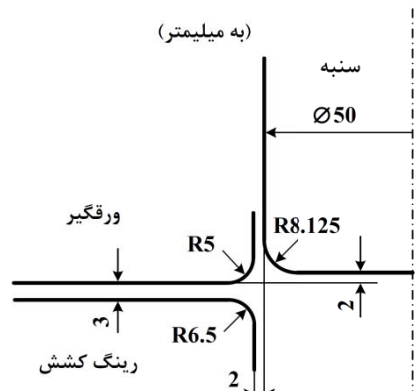
است. هندسه‌ی محصول نهایی به صورت یک فنجان استوانه‌ای شکل به قطر ۵۰ میلیمتر و با ۱۰ میلیمتر فلنچ باقیمانده در نظر گرفته شده است. به منظور بررسی جابه‌جایی خط جوش و توزیع ضخامت در ناحیه‌ی فلنچ، قطعه تا انتهای کشیده نشده و شامل ناحیه‌ی فلنچ می‌باشد. شکل (۱)، ابعاد قالب استفاده شده در شبیه‌سازی‌ها را نمایش می‌دهد.

با توجه به تقارن موجود، نیمی از لوح ترکیبی دایره‌ای شکل، شبیه‌سازی شده است. این نیم‌دایره از لوح ترکیبی به دو بخش با ضخامت‌های متفاوت و یک بخش به عنوان ناحیه‌ی خط جوش تقسیم‌بندی شده است (شکل ۲، الف). در مطالعات انجام شده [۹,10] با بررسی میزان سختی و مشاهدات میکروسکوپی، عرض ناحیه‌ی خط جوش در فرآیند جوشکاری لیزر CO₂ و Nd:YAG آنچه در این تحقیق بررسی می‌شود بین ۱ تا ۲ میلیمتر آنچه در این تحقیق بررسی می‌شود بین ۱ تا ۲ میلیمتر گزارش شده است. با توجه به این اطلاعات و مشاهدات تجربی، ناحیه‌ی خط جوش به عرض ۱/۵ میلیمتر و به صورت شبیدار درنظر گرفته شد. بخش «ب» شکل (۲)، الگوی استفاده شده جهت شبیه‌سازی خط جوش را نمایش می‌دهد. برای شبیه‌سازی این الگو با المان‌های پوسته‌ای، هندسه‌ی پوسته‌ی میانی لوح ترسیم و ضخامت هر بخش در دو طرف آن اعمال شد. ضخامت در ناحیه‌ی جوش لوح به عنوان تابعی از مختصات وارد گردید.



شکل ۲ (الف) بخش‌های مختلف لوح ترکیبی؛ (ب) الگوی شبیه‌سازی خط جوش

به کشش عمیق متداول گزارش داده‌اند. قراخانی [۷] و پاشیره‌پور [۸] در تحقیقات خود با استفاده از شبیه‌سازی، شکل‌دهی ورق‌های ترکیبی با سنبه‌ی مربعی شکل را توسط روش هیدروفرمینگ مورد بررسی قرار داده‌اند. در تحقیقات آن‌ها مزایای روش هیدروفرمینگ نسبت به کشش عمیق متداول از قبیل یکنواختی کشش و امکان دسترسی به عمق کشش‌های بیشتر و کاهش جابه‌جایی خط جوش مشهود است. این مطالعه با هدف بررسی اثر فشار سیال در شکل‌دهی یک قطعه‌ی استوانه‌ای از ورق‌های ترکیبی با در نظر گرفتن گرفتن فشار شعاعی در شبیه‌سازی‌ها، انجام گرفته است. از آنجایی که محل خط جوش در قطعه‌ی نهایی و هم‌چنین توزیع ضخامت، علاوه بر این‌که هندسه و کارایی محصول را تحت تأثیر قرار می‌دهند، می‌توانند به عنوان نمادهایی در میزان شکل‌پذیری هم مطرح گردند، لذا این دو عامل به عنوان شانحص مورد بررسی قرار گرفته‌اند.

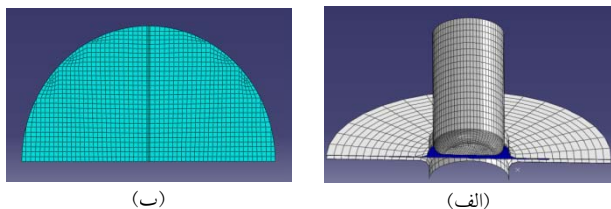


شکل ۱ هندسه و ابعاد قالب استفاده شده در شبیه‌سازی‌ها

شبیه‌سازی

شبیه‌سازی این فرآیند در نرم‌افزار اجزای محدود آباکوس ۶.۹-۱ انجام شده و از روش حل صریح (Explicit) نرم‌افزار برای تحلیل فرآیند استفاده گردیده

که شرط شباهستاتیک بودن در شبیه‌سازی‌ها برقرار باشد. در شکل (۴)، نمایی از مدل‌سازی و المان‌بندی ورق و اجزای قالب نشان داده است.



شکل ۴ (الف) مدلی از اجزای قالب شبیه‌سازی شده
ب) مدلی از لوح ترکیبی شبیه‌سازی شده

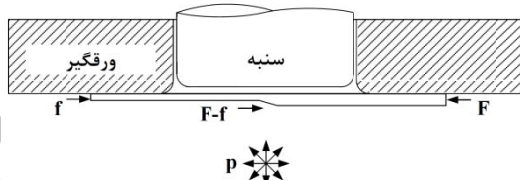
در این بررسی از فولاد کربنی St12 استفاده شده است. این ماده همسان‌گرد فرض شده است. خواص مکانیکی ماده‌ی استفاده شده در شبیه‌سازی‌ها در جدول (۱) ارایه شده است.

جدول ۱ خواص مکانیکی فولاد [۱۱] St12

مدول یانگ (گیگاپاسکال)	ضریب پراسون	تنش (مگاپاسکال)	کرش پلاستیک
۲۱۰	۰/۳	۲۹۴	۰
		۳۲۸	۰/۰۵
		۳۵۳	۰/۱
		۳۷۲	۰/۱۵
		۳۸۹	۰/۲
		۴۰۰	۰/۲۵
		۴۱۶	۰/۳

در بررسی تحلیلی و تجربی خواص بخش‌های مختلف ورق ترکیبی تولید شده توسط جوش لیزر، مقدار توان کارسختی در فلز جوش کمتر از فلزهای پایه و مقدار ضریب استحکام در آن بیشتر از این ضریب در فلزهای پایه گزارش شده است. در کل، سطح نمودار تنش-کرش فلز جوش، بالاتر از فلزهای پایه ترسیم شده است [۹] و این به معنی استحکام بالاتر در فلز جوش ورق ترکیبی است. در نتیجه دور از انتظار نیست که تفاوت زیادی در استحکام کششی کل

لوح ترکیبی به نحوی طراحی شد که اختلاف ضخامت دو بخش لوح در یک طرف بوده و یک سطح صاف در طرف دیگر وجود داشته باشد (شکل ۲، ب)؛ جوشکاری لوح با وجود سطح صاف در یک طرف ساده‌تر است؛ همچنین می‌توان با قرار دادن سطح صاف لوح در زیر ورق گیر از نشت سیال به پشت ورق در کار تجربی جلوگیری کرد. از طرف دیگر، وجود نیروهای شعاعی متفاوت در دو لبه‌ی ورق می‌تواند سبب حرکت افقی لوح در راستای عمود بر خط جوش، قبل از نفوذ سنبه شود که قرار دادن تمامی اختلاف ضخامت در سطحی که فشار سیال بر آن اعمال می‌شود این مشکل را نیز برطرف می‌کند. شکل (۳) نحوه‌ی به تعادل رسیدن این نیروها را در الگوی انتخاب شده نمایش می‌دهد.



شکل ۳ الگوی قرارگیری لوح و نحوه‌ی به تعادل رسیدن نیروهای واردہ به ورق از جانب سیال در راستای عمود بر خط جوش در صفحه‌ی افقی

ورق در شبیه‌سازی‌ها، به صورت جسم تغییر‌شکل پذیر و اجزای قالب به صورت جسم صلب مدل شده‌اند. با توجه به پایین‌تر بودن زمان محاسبات در المان‌های پوسته‌ای به نسبت المان‌های حجمی و همچنین وجود قابلیت بررسی توزیع ضخامت به عنوان یک خروجی اولیه برای این نوع المان‌ها، در شبیه‌سازی ورق از المان‌های پوسته‌ای مربعی S4R استفاده شد. المان S4R از دسته المان‌های با کاربرد عمومی برای مسائل شکل‌دهی فلزات است. اندازه‌ی المان‌ها و همچنین زمان فرآیند با استفاده از شبیه‌سازی‌های متعدد و بررسی تاریخچه‌ی انرژی‌ها و روند تغییرات تنش و کرش در مراحل مختلف به ترتیب ۲ میلیمتر و ۰/۰۵ ثانیه انتخاب شدند. زمان فرآیند به نحوی انتخاب شد

مقدار فشار اولیه سیال با استفاده از روابط پیشنهادی موجود [15]، که بر اساس نیروی لازم برای جدا نشدن ورق از ورق گیر در تماس اولیه سنبه با ورق تبیین شده بود، ۵ مگاپاسکال درنظر گرفته شده است.

به سبب استفاده از نیروی ورق گیری نرم در این فرآیند، فشار سیال موجود در ناحیه فلنچ موجب اعمال نیروی شعاعی به لبه ورق می‌گردد. بررسی‌های صورت گرفته [16] نشان می‌دهد که این نیروی شعاعی برای ورق‌های ساده، اثری مشابه اثر کاهش اصطکاک بین ورق و ورق گیر دارد که با تعیین ضریب اصطکاک معادل بین ورق و ورق گیر، می‌توان از این اثر چشم‌پوشی کرد. با توجه به ضخامت‌های متفاوت ورق‌های ترکیبی مورد استفاده در این تحقیق و در نتیجه نیروهای شعاعی متفاوتی که به دو بخش این ورق‌ها اعمال می‌گردد، بررسی اثر این نیروها مورد توجه قرار گرفت.

از آنجایی که امکان اعمال فشار به لبه المان‌های پوسته‌ای در نرم‌افزار مورد استفاده وجود ندارد، اثر فشارهای شعاعی به نیروهای گستردگی خطی تبدیل شده و به عنوان نیروهای لبه‌ای در مدل‌سازی وارد گردیده است.

نیروهای ناشی از فشار شعاعی دو بخش:

$$F = pL(T+\Delta T) \quad (1)$$

$$f = pL(t+\Delta t) \quad (2)$$

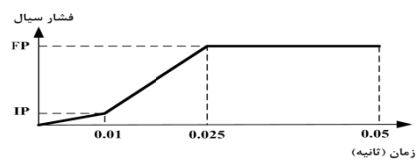
که p فشار سیال درون محفظه در هر لحظه، L طول لبه هر بخش از ورق، F و f به ترتیب نیروهای شعاعی وارد بر بخش ضخیم‌تر و نازک‌تر و T و t به ترتیب ضخامت‌های بیشتر و کمتر ورق ترکیبی هستند؛ ΔT و Δt تغییرات ضخامت بخش‌های ضخیم‌تر و نازک‌تر در طول فرآیند نسبت به ضخامت‌های اولیه همان بخش هستند. با فرض برابر بودن تغییرات ضخامت دو بخش ورق در ناحیه فلنچ ($\Delta T=\Delta t$)، می‌توان با استفاده از ضریب اصطکاک معادل از اثر

ورق ترکیبی با ورق‌های پایه (به علت وقوع پارگی در ورق نازک‌تر و نه در خط جوش) مشاهده نشد [12]. از طرف دیگر هرچند نسبت حجم مارتنتیت در جوش لیزر به علت بالا بودن نرخ سرد شدن زیاد است [10] و در نتیجه کرنش نهایی ناحیه جوش کمتر از فلزهای پایه است، ولی با توجه به عرض کم ناحیه جوش به نسبت قطر بلانک می‌توان این اثر را نادیده گرفت. در نتیجه در این تحقیق، با فرض استفاده از فرآیند جوشکاری لیزر با کیفیت بالا برای اتصال دو قسمت ورق ترکیبی و با نادیده گرفتن عیوب جوشکاری در خط جوش از خواص متفاوت ناحیه جوش صرف نظر شده است.

با توجه به تأثیر پذیری نمودار حد شکل دادن (Forming Limit Diagram (FLD)) از فشار هیدرولستاتیک [13]، برای پیش‌بینی شکست در شبیه‌سازی‌های انجام شده، بیشینه‌ی نازک‌شدنی متناظر با شکست بر اساس نمودار حد شکل دادن بدون وجود فشار هیدرولستاتیک، از شبیه‌سازی‌ها به دست آمده و برای فشارهای بالای سیال به کار برده شده است. این مقدار برابر با ۳۰٪ نازک‌شدنی است.

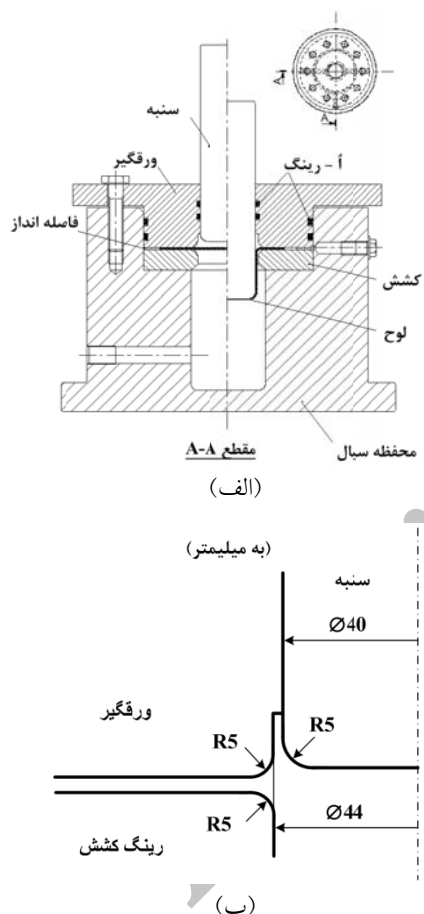
اصطکاک برای جنس ورق و قالب مورد استفاده در کمترین مقدار (روانکاری کامل) ۰/۰۲۹ و در بیشترین مقدار (تماس خشک) ۰/۰۴۲ پیشنهاد شده است [14]. با توجه به اطلاعات شبیه‌سازی‌های صحبت‌سنجی شده‌ی مشابه [۱۱]، در این مطالعه ضریب اصطکاک در سطوح تماس ورق با ورق گیر و قالب ۰/۰۵ و در سطح تماس ورق با سنبه ۰/۱ در نظر گرفته شده است.

تأثیر فشار سیال در فرآیند توسط اعمال فشار با توزیع یکنواخت در سطح ورق شبیه‌سازی شده است. شکل (۵)، نمودار تغییرات فشار محفوظه‌ی سیال در طول فرآیند را نشان می‌دهد.



شکل ۵ نمودار تغییرات فشار محفوظه نسبت به زمان شبیه‌سازی

ساخته شدند. فیکسچر- فاصله‌اندازها داخل قالب و بین ورق‌گیر و رینگ کشش قرار داده شد؛ و به وسیله‌ی سطح خارجی شاخک‌ها، درون حفره‌ی قالب ثابت شدند. این قطعات با قطر داخلی متفاوت (برای نسبت‌های کشش مختلف) ساخته شده است و توسط سطوح داخلی سه شاخک، لوح‌های دایره‌ای را موقعیت‌دهی می‌کردند.



شکل ۶ مشخصات قالب استفاده شده در آزمایش‌های تجربی:
الف) اجزای قالب [۱۷] ب) ابعاد قالب



شکل ۷ فیکسچر- فاصله‌اندازهای ساخته شده برای نسبت‌های کشش مختلف

$p\Delta T$ و $pL\Delta T$ چشم پوشی کرد، درنتیجه با تعريف $Q = pL$ و $q = pt$ خواهیم داشت:

$$F = QL \quad (3)$$

$$F = qL \quad (4)$$

که Q و q در نرم‌افزار مورد استفاده، به لبه‌ی بخش مربوط اعمال شدند.

آزمایش‌های تجربی

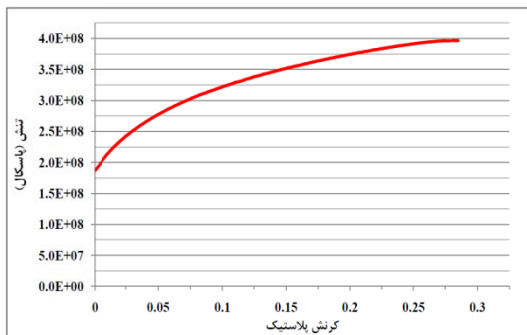
ارزیابی شبیه‌سازی‌ها و اطمینان از درستی نتایج حاصل از آن‌ها نیازمند انجام بررسی‌های تجربی و به دست آوردن داده‌های تجربی برای مقایسه با نتایج عددی است. با توجه به وجود محدودیت ضخامت ورق در دستگاه جوش لیزر استفاده شده، در آزمایش‌های تجربی از ورق‌هایی با ضخامت کمتر استفاده شد. به منظور صحت‌سنجی نتایج، شبیه‌سازی‌هایی با ابعاد قالب موجود و لوح‌های استفاده شده در آزمایش‌های تجربی و با خواص مکانیکی حاصل از آزمون کشش تک محوره انجام شدند. آزمایش‌های تجربی عمدها برای بررسی جایه‌جایی خط جوش و توزیع ضخامت محصول و با هدف مقایسه با نتایج شبیه‌سازی‌ها انجام گردیدند.

آزمایش‌ها با کمک یک دستگاه پرس هیدرولیکی ۱۰۰ تن انجام شدند. سیال مورد استفاده روغن بود و از مدار کنترل هیدرولیکی برای کنترل فشار سیال در حین فرآیند استفاده شد.

اجزای اصلی قالب کشش عمیق هیدرومکانیکی شامل سنبه، رینگ کشش، محفظه سیال و ورق‌گیر می‌باشند. مشخصات این قالب که جهت کشش قطعات استوانه‌ای طراحی شده در شکل (۶) نشان داده شده است [۱۷].

برای اندازه‌گیری میزان جایه‌جایی خط جوش، لازم است در هنگام شکل دهی، سنبه درست در وسط لوح فروود آید، بنابراین قطعاتی تحت عنوان فیکسچر- فاصله‌انداز (شکل ۷) طراحی و توسط برش لیزر

استخراج منحنی تنش-کرنش مهندسی ورق از آزمون کشش تک محوری و تبدیل آن به منحنی تنش-کرنش حقیقی، تنش تسليم ورق‌های تهیه شده ۱۸۷ مگاپاسکال و مدول یانگ آن‌ها ۱۷۰ گیگاپاسکال به دست آمد. در شکل (۹) منحنی تنش-کرنش پلاستیک ورق‌ها ارایه شده است.

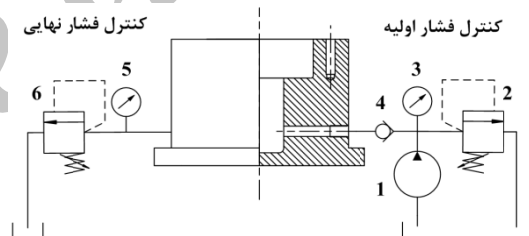


شکل ۹ منحنی تنش-کرنش پلاستیک به دست آمده از آزمون کشش تک محوره

لوح‌های ترکیبی استفاده شده در آزمایش‌های تجربی در قطرهای مختلف (برای نسبت‌های کشش مختلف) از دو نیم‌دایره با ضخامت‌های ۰/۵۱۵ و ۰/۷۰۵ میلیمتری تشکیل شده بودند. از آنجایی که کیفیت برش ورق‌ها، فاصله‌ی هوایی در محل جوش و در نتیجه کیفیت نهایی جوش را تحت تأثیر قرار می‌دهد و همچنین دقیقت اندازه‌گیری جابه‌جایی خط جوش به میزان دقیقت ابعادی و تقارن در لوح اولیه بستگی دارد، برای برش نیم‌دایره‌ها از فرآیند برش سیم (Wire-cut) استفاده شد.

برای اتصال دو بخش لوح ترکیبی از دستگاه جوش لیزر Nd:YAG با توان ۶۰ وات استفاده شد. برای ارزیابی میزان استحکام جوش، نمونه‌هایی به شکل استاندارد آزمون کشش تک محوره با دو ضخامت ۰/۵۱۵ و ۰/۷۰۵ و با وجود جوش عرضی تهیه شد و تحت کشش قرار گرفت. وقوع پارگی در بخش نازک‌تر قطعات (شکل ۱۰)، وجود استحکام لازم در ناحیه‌ی جوش را تایید کرد.

برای کنترل فشار روغن در مراحل مختلف فرآیند، از یک مدار کنترل هیدرولیکی مطابق شکل (۸) استفاده شده است. در مرحله‌ی پیش‌بالجینگ روغن به کمک پمپ ۱ به محفظه وارد می‌شود. فشار داخل محفظه افزایش می‌یابد و ورق به سمت سنبه که در موقعیتی بالاتر از سطح اولیه ورق ثابت است، بالج می‌شود. فشار در این مرحله با شیر کنترل فشار ۲ تنظیم می‌گردد. در مرحله‌ی شکل‌گیری ورق به کمک سنبه، با حرکت سنبه به داخل محفظه، فشار روغن به شدت افزایش می‌یابد. شیر یک‌طرفه، ۴ مانع از برگشت روغن و تخلیه‌ی آن از طریق واحد پیش‌بالجینگ می‌شود. حداقل فشار سیال داخل محفظه در حین فرآیند با استفاده از شیر کنترل فشار نهایی ۶ تنظیم می‌گردد. پس از رسیدن فشار به حد نهایی تعیین شده، عملیات در فشار ثابت ادامه می‌یابد.



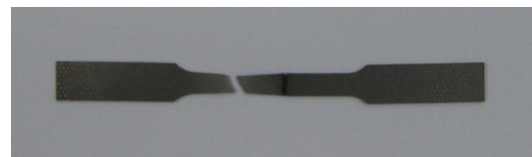
شکل ۸ مدار هیدرولیکی کنترل فشار محفظه‌ی سیال؛ ۱: پمپ هیدرولیک؛ ۲: شیر کنترل فشار پیش‌بالجینگ؛ ۳: فشار سنج برای اندازه‌گیری فشار پیش‌بالجینگ؛ ۴: شیر یک‌طرفه؛ ۵: فشار سنج برای اندازه‌گیری فشار نهایی؛ ۶: شیر کنترل فشار نهایی محفظه

ورق‌های فولاد کم‌کربن با ضخامت‌های ۰/۵۱۵ و ۰/۷۰۵ میلیمتر جهت انجام آزمایش‌های کشش عمیق هیدرولیکی مورد استفاده قرار گرفته‌اند. مقایسه‌ی نتایج شبیه‌سازی‌ها و آزمایش‌های تجربی برای ارزیابی درستی نتایج ارایه شده نیازمند استفاده از خواص ورق‌ها در شبیه‌سازی‌ها می‌باشد. به این منظور از نتایج آزمون کشش تک محوری برای تعیین و محاسبه‌ی ویژگی‌های مورد نیاز ورق‌ها استفاده شده است. با



شکل ۱۳ بررسی مسیر خط جوش توسط دستگاه CMM

برای اندازه‌گیری جابه‌جایی خط جوش نمونه‌ها از دستگاه اندازه‌گیری CMM استفاده شد. در این روش پس از مشخص شدن موقعیت خط جوش در فضا توسط ابر نقاط، مقدار جابه‌جایی خط جوش در موقعیت اولیه در جهت عمود بر خط جوش (در صفحه‌ی لوح اولیه) محاسبه و با نتایج شبیه‌سازی‌ها مقایسه شد. برای بررسی توزیع ضخامت محصولات در طول خط تقارن آن‌ها، قطعات توسط فرآیند برش سیم از روی خط تقارن بریده شدند و میزان ضخامت در چند بخش مختلف آن‌ها با استفاده از میکرومتر سر مخروطی (با تماس تغیریا نقطه‌ای) اندازه‌گیری شد.



شکل ۱۰ موقع پارگی در بخش نازک‌تر نمونه‌های آزمون کشش تک محوره با جوش عرضی

آزمایش‌های کشش عمیق هیدرومکانیکی لوح‌های ترکیبی با هدف بررسی میزان جابه‌جایی خط جوش و توزیع ضخامت محصول برای چند نسبت کشش و در فشارهای نهایی مختلف انجام شدند. پارامترهای این آزمایش‌ها بر پایه‌ی نتایج حاصل از شبیه‌سازی‌های انجام شده بر اساس مشخصات مواد و قالب آزمایش‌ها انتخاب شدند. شکل‌های (۱۱) و (۱۲) به ترتیب مجموعه تجهیزات استفاده شده در آزمایش‌های تجربی و انواع پارگی در قطعات در حین شکل‌دهی هیدرومکانیکی را نشان می‌دهند.



شکل ۱۱ تجهیزات استفاده شده در آزمایش‌های تجربی

صحبت سنجی نتایج

در این بخش درستی نتایج حاصل از شبیه‌سازی‌ها با استفاده از نتایج آزمایش‌های تجربی و مقایسه‌ی جابه‌جایی خط جوش در طول خط جوش و توزیع ضخامت در طول خط تقارن ارزیابی می‌شود. شبیه‌سازی‌های این بخش با ابعاد قالب و لوح‌های استفاده شده در آزمایش‌های تجربی و با خواص مکانیکی حاصل از آزمون کشش تک محوره انجام

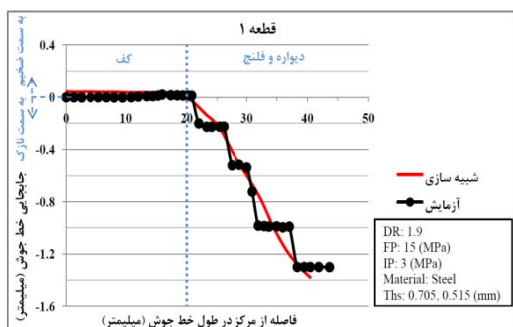


شکل ۱۲ انواع پارگی در شکل‌دهی هیدرومکانیکی لوح‌های ترکیبی: (الف) شعاع سر سنبه در بخش نازک‌تر لوح؛ (ب) شعاع رینگ کشش در بخش نازک‌تر لوح؛ (ج) ناحیه‌ی جوش

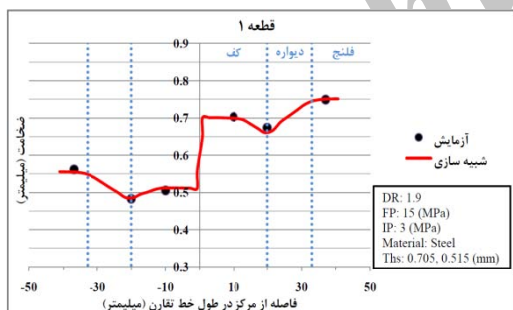
اندازه‌گیری در نرم افزار مناسب دوران داده شدنده که اریب شدن پلهای مقادیر تجربی جابه‌جای خطاً جوش را نتیجه داده است.



شکل ۱۵ قطعه‌ی ۱



شکل ۱۶ مقایسه نتیجه‌ی شیوه‌سازی و آزمایش تجربی جابه‌جای خط جوش قطعه‌ی ۱

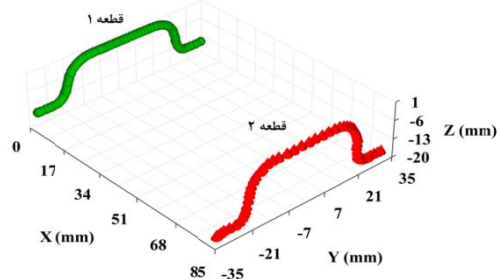


شکل ۱۷ مقایسه نتیجه‌ی شیوه‌سازی و آزمایش تجربی توزیع ضخامت قطعه‌ی ۱



شکل ۱۸ قطعه‌ی ۲

شده‌اند. فشار اولیه‌ی محفظه با توجه به ابعاد لوح استفاده شده در آزمایش‌ها، ۳ مگاپاسکال انتخاب شده است، سایر شرایط شبیه‌سازی‌ها مشابه شرایط توضیح داده شده در بخش شبیه‌سازی‌ها است. برای ارزیابی میزان درستی نتایج شبیه‌سازی‌ها، دو قطعه که در نسبت‌های کشش و فشارهای نهایی متفاوت، شکل داده شده‌اند مورد بررسی قرار گرفته‌اند.



شکل ۱۴ مختصات خطوط جوش دو قطعه‌ی حاصل از آزمایش‌های تجربی به دست آمده از CMM

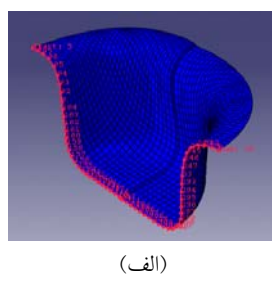
قطعه‌ی ۱ (شکل ۱۵) در نسبت کشش ۱/۹ و با فشار نهایی ۱۵ مگاپاسکال تولید شده است. در شکل ۱۶ مقادیر جابه‌جای خط جوش قطعه‌ی ۱ در شبیه‌سازی و آزمایش تجربی مقایسه گردیده‌اند. همان‌طور که مشاهده می‌شود مطابقت بسیار خوبی در نتایج وجود دارد. پلهای بودن نتایج تجربی به علت روش اندازه‌گیری اپراتور دستگاه CMM است.

در شکل (۱۷) توزیع ضخامت در شبیه‌سازی با نتایج اندازه‌گیری ضخامت قطعه‌ی ۱ مقایسه شده است که مطابقت بسیار خوبی مشاهده می‌شود.

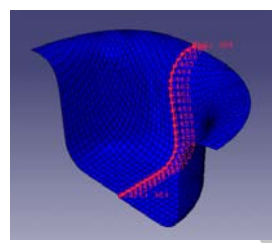
قطعه‌ی ۲ (شکل ۱۸) در شرایطی متفاوت نسبت به قطعه‌ی ۱ و در نسبت کشش ۲ و با فشار نهایی ۲۰ مگاپاسکال تولید شده است. در شکل (۱۹) مقادیر جابه‌جای خط جوش این قطعه در شبیه‌سازی و آزمایش تجربی مقایسه گردیده‌اند. همان‌طور که مشاهده می‌شود مطابقت خوبی در نتایج وجود دارد. آن‌جایی که محورهای مختصات دستگاه اندازه‌گیری بر راستای خط جوش قطعه منطبق نبوده‌اند، نتایج پس از

نتایج و بحث

پس از تأیید صحت نتایج شبیه‌سازی‌ها در بخش پیشین، در این بخش نتایج حاصل از شبیه‌سازی‌ها ارایه و بررسی می‌گردد. با تغییر در مقادیر فشار نهایی و فشار اولیه سیال در شبیه‌سازی‌ها، مقدار و چگونگی اثرگذاری این عوامل بر توزیع ضخامت و یا بیشینه‌ی نازک‌شدگی و هم‌چنین جایه‌جایی خط جوش در محصول نهایی بررسی شده‌اند.



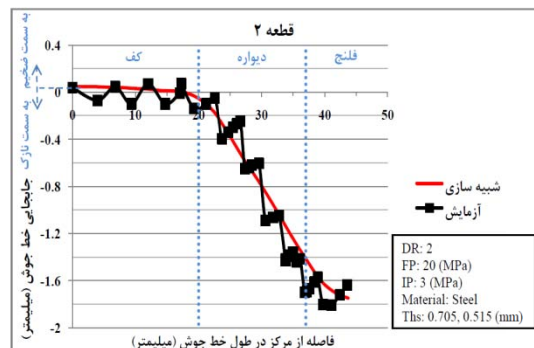
(الف)



(ب)

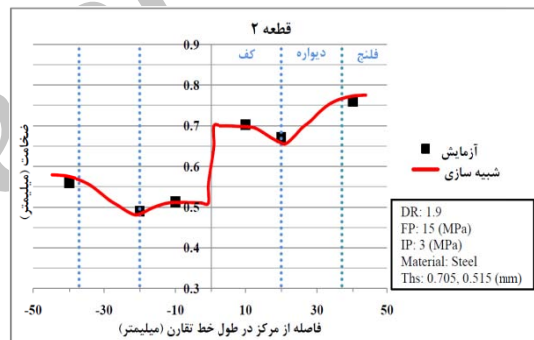
شکل ۲۱ (الف) مسیر اندازه‌گیری توزیع ضخامت (خط تقارن)،
ب) مسیر اندازه‌گیری جایه‌جایی خط جوش (خط جوش)

مقدار بیشینه‌ی نازک‌شدگی در کل محصول و به صورت درصد بیان شده است. در نمودارهای توزیع ضخامت، ضخامت در طول خط تقارن محصول گزارش شده است (شکل ۲۱، الف). نمودارهای جایه‌جایی خط جوش، میزان حرکت هر گره از خط جوش در راستای عمود بر خط جوش اولیه را نمایش می‌دهند (شکل ۲۱، ب). همان‌طور که در شکل (۲۲) نشان داده شده است، خط جوش در راستای محور Z قرار دارد، در نتیجه با توجه به موقعیت لوح، جایه‌جایی هر گره از خط جوش در جهت مثبت و منفی محور



شکل ۱۹ مقایسه‌ی نتیجه‌ی شبیه‌سازی و آزمایش تجربی
جایه‌جایی خط جوش قطعه‌ی ۲

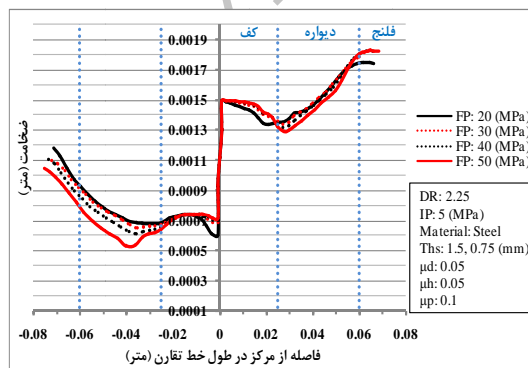
در شکل (۲۰) توزیع ضخامت در شبیه‌سازی با نتایج اندازه‌گیری ضخامت قطعه‌ی ۲ مقایسه شده است که مطابقت خوبی مشاهده می‌شود.



شکل ۲۰ مقایسه‌ی نتیجه‌ی شبیه‌سازی و آزمایش تجربی توزیع
ضخامت قطعه‌ی ۲

اختلاف موجود در نتایج بررسی ضخامت و جایه‌جایی خط جوش محصولات در شبیه‌سازی‌ها و نتایج تجربی می‌تواند به علت ضخامت ناهمگون نقاط مختلف ورق‌های اولیه و ناهمسان‌گردی آن‌ها و هم‌چنین وجود اختلاف در شرایط اصطکاکی و روند تغییر فشار سیال در شبیه‌سازی‌ها و آزمایش‌های تجربی باشد. هم‌چنین وجود مقدار کمی نشتی در آزمایش‌ها، کنترل بر توزیع فشار سیال را در ناحیه‌ی فلنچ محصول در طول فرآیند دشوار ساخته است که می‌تواند بر نتایج نهایی تأثیر گذار بوده باشد.

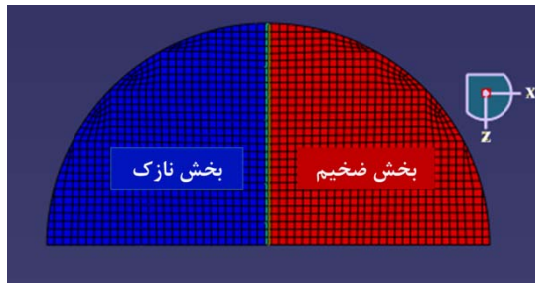
جدول (۲)، خلاصه‌ای از نتایج شبیه‌سازی‌های انجام شده را نشان می‌دهد. در فشار نهایی ۱۵ مگاپاسکال و کمتر، جابه‌جایی زیاد خط جوش در کف قطعه و کرنش بالای ناشی از آن موجب پارگی در نزدیکی خط جوش (شکل ۲۳، الف) (در اثر تمرکز تنش) می‌شود. در نتیجه تولید این قطعه با فرآیند کشش عمیق ستی امکان‌پذیر نیست. با افزایش فشار نهایی و با فشرده شدن بیشتر ورق به زیر سنبه و در نتیجه کاهش جابه‌جایی خط جوش در کف فتجان، نازک‌شدگی این منطقه کاهش می‌یابد. از طرف دیگر با افزایش فشار نهایی و به علت افزایش نیروی ورق‌گیری و کاهش حرکت ورق به داخل حفره قالب، بیشینه‌ی نازک‌شدگی در دیواره‌ی قطعه ایجاد می‌شود؛ و در نهایت در فشار نهایی ۵۵ مگاپاسکال و بیشتر، منجر به پارگی (شکل ۲۳، ب) می‌شود. همان‌طور که مشاهده می‌شود یک مقدار بهینه در فشار نهایی برای کمترین بیشینه‌ی نازک‌شدگی وجود دارد. همان‌گونه که در شکل (۲۴) دیده می‌شود، بیشینه‌ی نازک‌شدگی در بخش ضخیم‌تر در نزدیکی شعاع سنبه اتفاق افتاده، در حالی که در بخش نازک‌تر در دیواره رخ داده است. هم‌چنین مشاهده می‌شود که با افزایش فشار، بیشینه‌ی نازک‌شدگی در هر دو بخش، از شعاع سنبه به سمت دیواره حرکت کرده است.



شکل ۲۴ اثر فشار نهایی سیال بر توزیع ضخامت در طول خط تقارن لوح

X، به ترتیب به عنوان جابه‌جایی به سمت بخش ضخیم و بخش نازک لوح ترکیبی گزارش شده است.

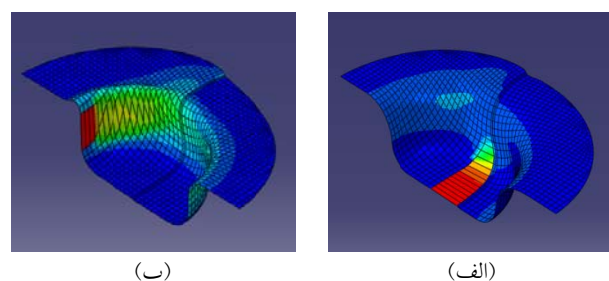
اثر فشار نهایی سیال. در این مرحله با تغییر فشار نهایی برای لوح ترکیبی ۱/۵ به ۰/۷۵ میلیمتری، اثر این عامل بر میزان جابه‌جایی خط جوش و هم‌چنین توزیع ضخامت بررسی شده است.



شکل ۲۲ موقعیت لوح ترکیبی نسبت به محورهای مختصات

جدول ۲ خلاصه‌ی نتایج شبیه‌سازی‌ها برای لوح ترکیبی ۱/۵ به ۰/۷۵ میلیمتری

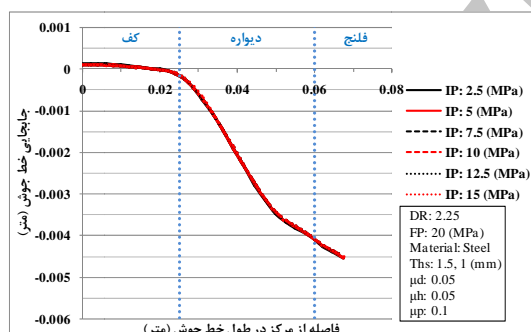
محل	بیشینه‌ی نازک‌شدگی (%) یا گزارش شکست	فشار نهایی (مگاپاسکال)	فشار اولیه (مگاپاسکال)
کف	شکست	۱۵	۵
کف	۱۹/۵۸	۲۰	۵
دیواره	۱۲/۷۱	۳۰	۵
دیواره	۱۸/۳۹	۴۰	۵
دیواره	۲۸/۹۸	۵۰	۵
دیواره	شکست	۵۵	۵



شکل ۲۳ (الف) پارگی در کف قطعه و در نزدیکی خط جوش در فشار نهایی ۱۵ مگاپاسکال؛ (ب) پارگی در دیواره‌ی قطعه در فشار نهایی ۵۵ مگاپاسکال

از آن جایی که اثر تغییر فشار اولیه‌ی سیال بر توزیع ضخامت در طول خط تقارن قطعه ناچیز است، مقدار بیشینه‌ی نازک‌شدگی در کل محصول مورد بررسی قرار می‌گیرد. نتایج (شکل ۲۶) نشان می‌دهد که یک مقدار بهینه برای فشار اولیه بر اساس بیشینه‌ی نازک‌شدگی وجود دارد. با افزایش فشار اولیه از ۱۰ تا ۱۰ ۲/۵ مگاپاسکال، علاوه بر کشش معکوس و ورود ورق بیشتر به زیر سنبه به سبب بالج ورق، شکل‌گیری کف و گوشه‌ی سنبه در همان مراحل اولیه، باعث کاهش بیشینه‌ی نازک‌شدگی می‌شود؛ از طرف دیگر با افزایش فشار اولیه از ۱۰ تا ۱۵ مگاپاسکال، افزایش نیروی ورق‌گیری در طول فرآیند، جریان ورق به داخل حفره را دشوارتر ساخته و افزایش بیشینه‌ی نازک‌شدگی را در پی دارد.

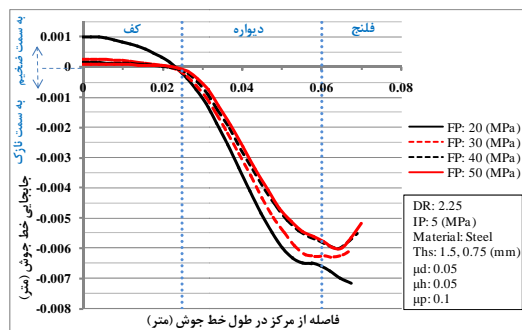
همان‌طور که در شکل (۲۷) مشاهده می‌شود، تغییر فشار اولیه در محدوده‌ی بررسی شده، تأثیر چندانی بر جایه‌جایی خط جوش ندارد.



شکل ۲۷ اثر فشار اولیه‌ی سیال بر جایه‌جایی خط جوش در طول خط جوش لوح

نتیجه‌گیری

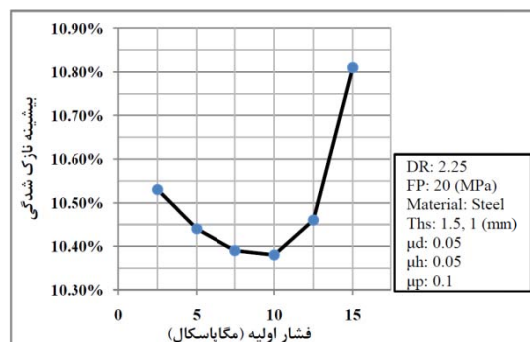
در این مطالعه فرآیند کشش عمیق هیدرومکانیکی لوح‌های ترکیبی با اعمال فشار شعاعی شبیه‌سازی گردید و با استفاده از یک قالب آزمایشی برخی از نتایج عددی با نتایج تجربی مقایسه شدند. انطباق خوبی در نتایج عددی و تجربی مشاهده گردید، به



شکل ۲۵ اثر فشار نهایی سیال بر جایه‌جایی خط جوش در طول خط جوش لوح

شکل (۲۵)، منحنی‌های جایه‌جایی خط جوش در فشارهای نهایی مختلف را برای لوح ترکیبی ۱/۵ به ۰/۷۵ میلیمتری نشان می‌دهد. با افزایش فشار نهایی، در اثر فشرده شدن ورق به زیر و دیواره‌ی سنبه و هم‌چنین به ورق‌گیر حرکت دو بخش ورق محدودتر شد و درنتیجه جایه‌جایی خط جوش کاهش یافت. هم‌چنین مشاهده می‌شود که با افزایش فشار نهایی از ۲۰ به ۳۰ مگاپاسکال تغییر زیادی در میزان جایه‌جایی خط جوش رخ داده است، درحالی که این تغییر از فشار نهایی ۳۰ به ۴۰ و از ۴۰ به ۵۰ مگاپاسکال کاهش می‌یابد. می‌توان نتیجه گرفت که کاهش جایه‌جایی خط جوش با افزایش فشار نهایی امکان‌پذیر ولی محدود است.

اثر فشار اولیه‌ی سیال. در این بخش با تغییر فشار اولیه (پیش‌بالج) و ثابت نگهداشتن فشار نهایی سیال (۲۰ مگاپاسکال)، اثر این عامل بر فرآیند بررسی شده است.



شکل ۲۶ اثر فشار اولیه بر بیشینه‌ی نازک‌شدگی

۳- برای فشار اولیه بر اساس بیشینه‌ی نازک شدنگی، یک مقدار بهینه وجود داشت. تغییر فشار اولیه در رنج بررسی شده، تأثیر چندانی بر جابه‌جایی خط جوش نداشت.

سپاسگزاری

از همکاری‌های جناب دکتر محمد حبیبی پارسا و دانشگاه تهران در انجام آزمایش‌های عملی تشکر و قدردانی می‌شود.

فهرست علایم

DR	نسبت کشش
FP	فشار نهایی سیال محفظه
IP	فشار اولیه سیال محفظه
Ths	ضخامت‌های دو بخش لوح ترکیبی
μd	ضریب اصطکاک رینگ کشش- ورق
μh	ضریب اصطکاک ورق‌گیر- ورق
μp	ضریب اصطکاک سنبه- ورق

گونه‌ای که می‌توان از نتایج حاصل از این شبیه‌سازی‌ها و شبیه‌سازی‌های مشابه برای شناخت بهتر فرآیند کشش عمیق هیدرومکانیکی لوح‌های ترکیبی و کمک به طراحی و تولید کارآمدتر محصولات موردنیاز از لوح‌های ترکیبی استفاده کرد. در نهایت با بررسی توزیع ضخامت و جابه‌جایی خط جوش به عنوان دو عامل مهم در شکل‌پذیری ورق‌های ترکیبی، اثر فشار اولیه و فشار نهایی سیال بر این دو عامل بررسی شد و نتایج زیر مشاهده گردید:

- ۱- اعمال فشار شعاعی، سبب کاهش کلی نازک شدنگی شد و کاهش شدید جابه‌جایی خط جوش در کف فنجان و افزایش در دیواره و فلنچ را به همراه داشت.
- ۲- افزایش فشار نهایی سیال محفظه، کاهش نازک شدنگی در کف فنجان و در نزدیکی خط جوش، و افزایش نازک شدنگی در دیواره را به همراه داشت؛ هم‌چنین با افزایش فشار نهایی محل بیشینه‌ی نازک شدنگی به سمت لبه‌ی فنجان حرکت کرد. افزایش فشار نهایی، کاهش جابه‌جایی خط جوش را نیز به همراه داشت.

مراجع

1. Kumar panda, S., Ravi Kumar, D., "Improvement in formability of tailor welded blanks by application of counter pressure in biaxial stretch forming", *Journal of Materials Processing Technology*, Vol. 204, pp. 70 -79, (2008).
2. Ahmetoglu, M.A., Brouwers, D., Taupin, L.S., Kinzel, G.L. and Altan, T., "Deep drawing of round cups from tailor-welded blanks", *Journal of Material Processing Technology*, Vol. 53, pp. 684-694, (1995).
3. Kinsey, B., Liu, Z. and Cao, J., "A novel forming technology for tailor-welded blanks", *Journal of Materials Processing Technology*, Vol. 99, pp.145-153, (2000).
4. Jiang, H.M., Li, S.H., Wu, H. and Chen, X.P, "Numerical simulation and experimental verification in the use of tailor-welded blanks in the multi-stage stamping process", *Journal of Materials Processing Technology*, Vol. 151, pp. 316-320, (2004).
5. Chena, W., Lin, G.S. and Hu, S.J., "A comparison study on the effectiveness of stepped binder and

- weld line clamping pins on formability improvement for tailor-welded blanks", *Journal of Materials Processing Technology*, Vol. 207, pp. 204-210, (2008).
6. Padmanabhan, R., Oliveira, M.C. and Menezes, L.F., "Deep drawing of aluminium–steel tailor-welded blanks", *Journal of Materials and Design*, Vol. 29, pp. 154–160, (2008).
 7. قراخانی، مهدی، "بررسی عمق کشش ورق‌های ترکیبی (TWB) در فرآیند هیدروفرمینگ"، پایان‌نامه‌ی کارشناسی ارشد مهندسی مکانیک (ساخت و تولید)، پردیس دانشکده‌های فنی، دانشکده‌ی مهندسی مکانیک، دانشگاه تهران، (۱۳۸۷).
 8. پاشیره‌پور، جمال، "بررسی جابه‌جایی خط جوش در شکل دهی ورق ترکیبی به روش هیدروفرمینگ"، پایان‌نامه‌ی کارشناسی ارشد مهندسی مکانیک (ساخت و تولید)، پردیس دانشکده‌های فنی، دانشکده‌ی مهندسی مکانیک، دانشگاه تهران، (۱۳۸۷).
 9. Ghoo, B. Y., Keum, Y. T. and Kim, Y. S., "Evaluation of the mechanical properties of welded metal in tailored steel sheet welded by CO₂ laser", *Journal of Materials Processing Technology*, Vol. 113, pp. 692-698, (2001).
 10. Meinders, T., van den Berg, A. and Huetink, J., "Deep drawing simulations of Tailored Blanks and experimental verification", *Journal of Materials Processing Technology*, Vol. 103, pp. 65-73, (2000).
 11. رحمنی، فرزاد، "بررسی عددی و تجربی حد شکل دهی در فرآیند هیدروفرمینگ برای قطعات غیرگرد"، پایان‌نامه‌ی کارشناسی ارشد مهندسی مکانیک (ساخت و تولید)، دانشکده‌ی فنی و مهندسی، دانشگاه تربیت مدرس، (۱۳۸۸).
 12. Chan, S. M., Chan, L. C. and Lee, T. C., "Tailor-welded blanks of different thickness ratios effects on forming limit diagrams", *Journal of Materials Processing Technology*, Vol. 132, pp. 95-101, (2003).
 13. Assempour, A., Khakpour Nejadkhaki, H., Hashemi, R., "Forming limit diagrams with the existence of through-thickness normal stress", *Computational Materials Science*, Vol. 48, pp. 504-508, (2010).
 14. www.Engineer's handbook.com, (May 2010).
 15. Shim, H. and Yang, D. Y., "A simple method to determine pressure curve for sheet hydro-forming and experimental verification", *Journal of Materials Processing Technology*, Vol. 169, pp. 134-142, (2005).
 16. Lang, L., Danckert, J., Nielsen, K. B., "Investigation into hydrodynamic deep drawing assisted by radial pressure, Part II. Numerical analysis of the drawing mechanism and the process parameters", *Journal of Materials Processing Technology*, Vol. 166, pp. 150–161, (2005).
 17. دیلمی عضدی، حامد، "بررسی تئوری و تجربی اثر شرایط کاری در فرآیند کشش عمیق هیدرومکانیکی"، رساله‌ی دکتری مهندسی مکانیک (ساخت و تولید)، دانشکده‌ی فنی و مهندسی، دانشگاه تربیت مدرس، (۱۳۸۶).